

A.1.1.7.  $f_e=2000\text{Hz}$  -  $f_r=95\text{Hz}$ .

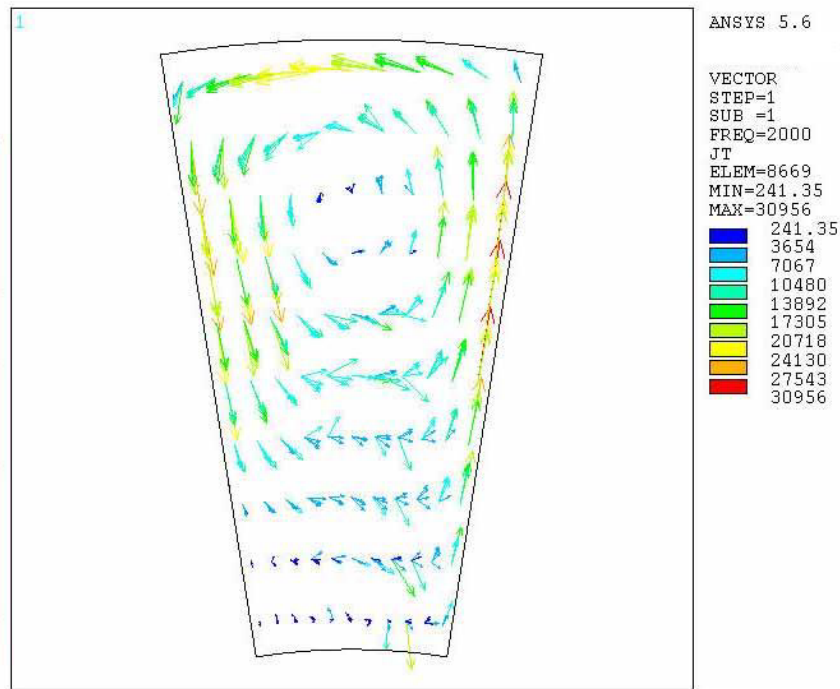


Figura 208. Componente real de la J del rotor.  $f_e=2000\text{Hz}$  -  $f_r=95\text{Hz}$  -  $s=0.05$ . Distribución por par de polos  $p=20$ .

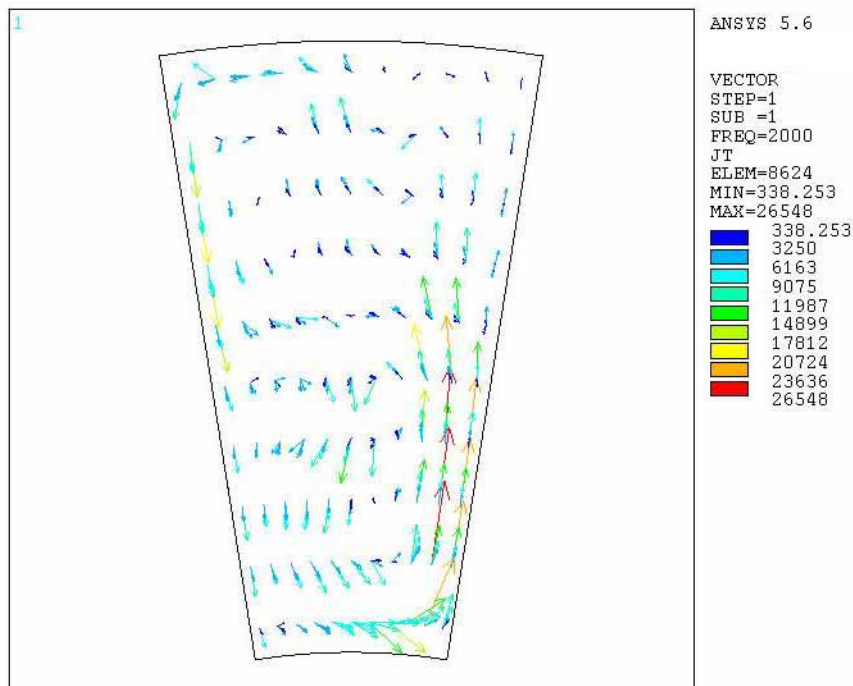


Figura 209. Componente imaginaria de la J del rotor.  $f_e=2000\text{Hz}$  -  $f_r=95\text{Hz}$  -  $s=0.05$ . Distribución por par de polos  $p=20$ .

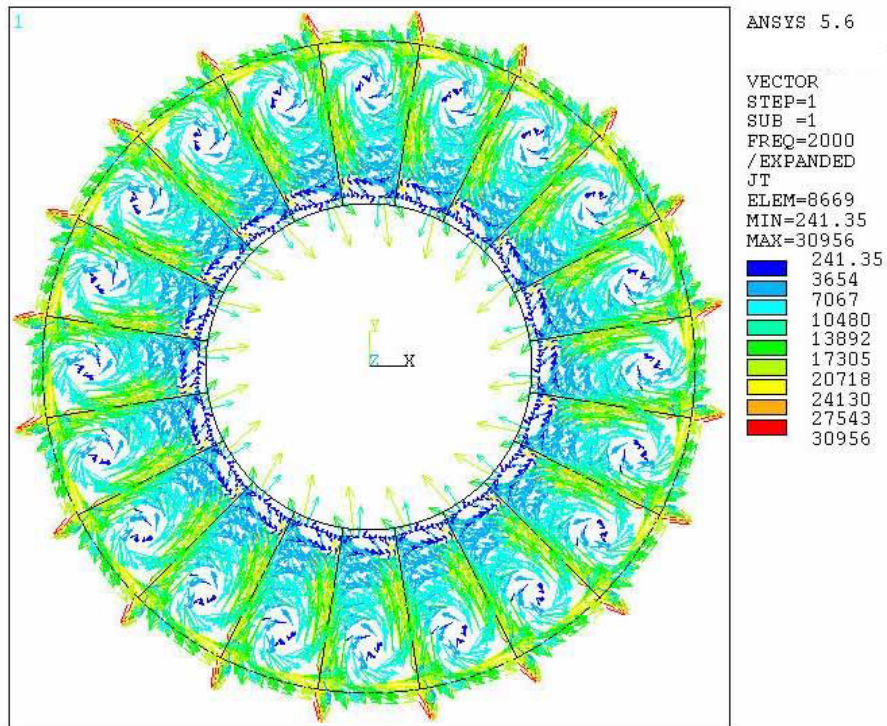


Figura 210. Componente real de la J del rotor.  $f_e=2000\text{Hz}$  -  $f_r=95\text{Hz}$  -  $s=0.05$ .  $p=20$ .

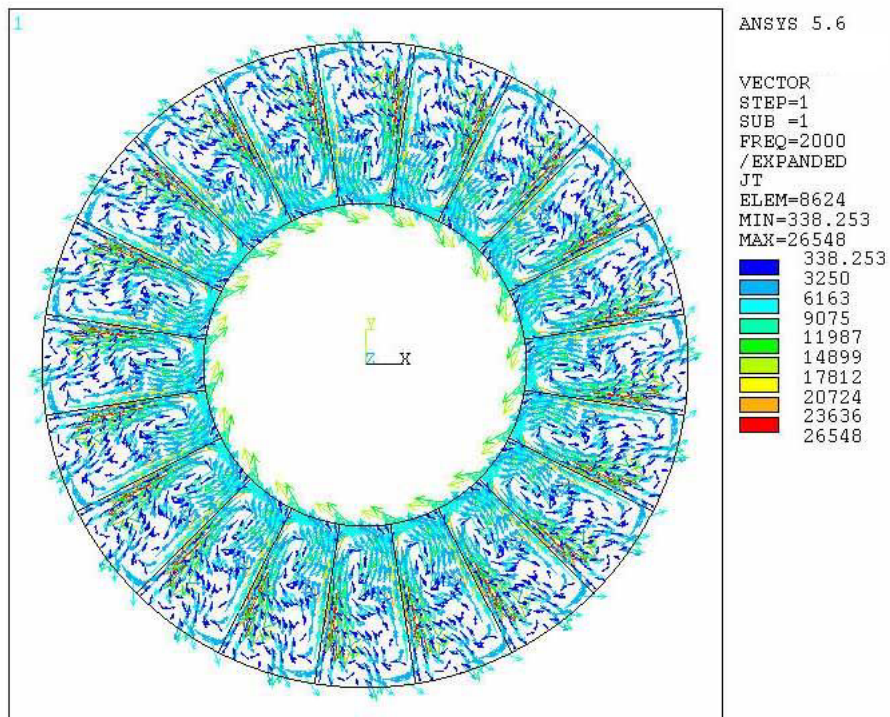


Figura 211. Componente imaginaria de la J del rotor.  $f_e=2000\text{Hz}$  -  $f_r=95\text{Hz}$  -  $s=0.05$ .  $p=20$ .

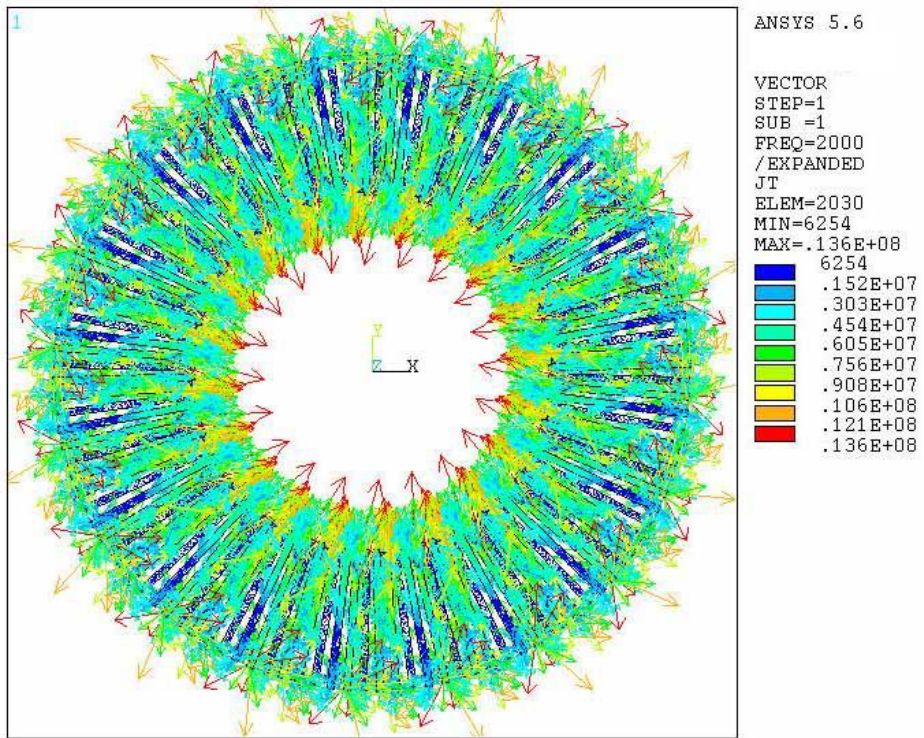


Figura 212. Componente real de las corrientes estáticas  
 $f_e=2000\text{Hz}$  -  $f_r=95\text{Hz}$  -  $s=0.05$ .  $p=20$ .

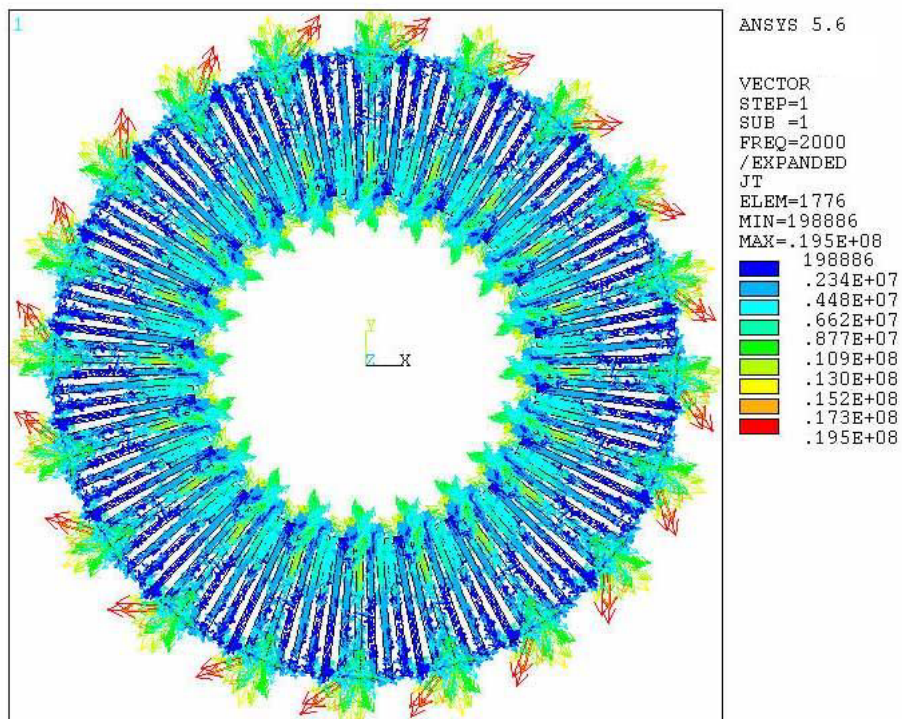


Figura 213. Componente imaginaria de las corrientes estáticas.  
 $f_e=2000\text{Hz}$  -  $f_r=95\text{Hz}$  -  $s=0.05$ .  $p=20$ .

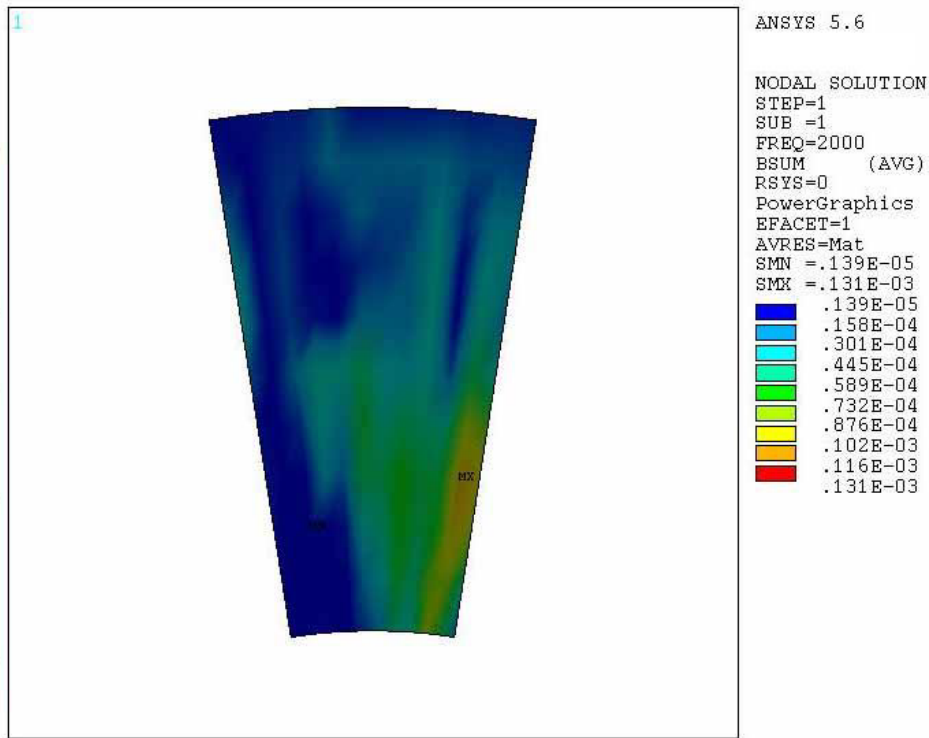


Figura 214. Componente real de la densidad de campo B.  
 $f_e=2000\text{Hz}$  -  $f_r=95\text{Hz}$  -  $s=0.05$ . Distribución por par de polos  $p=20$ .

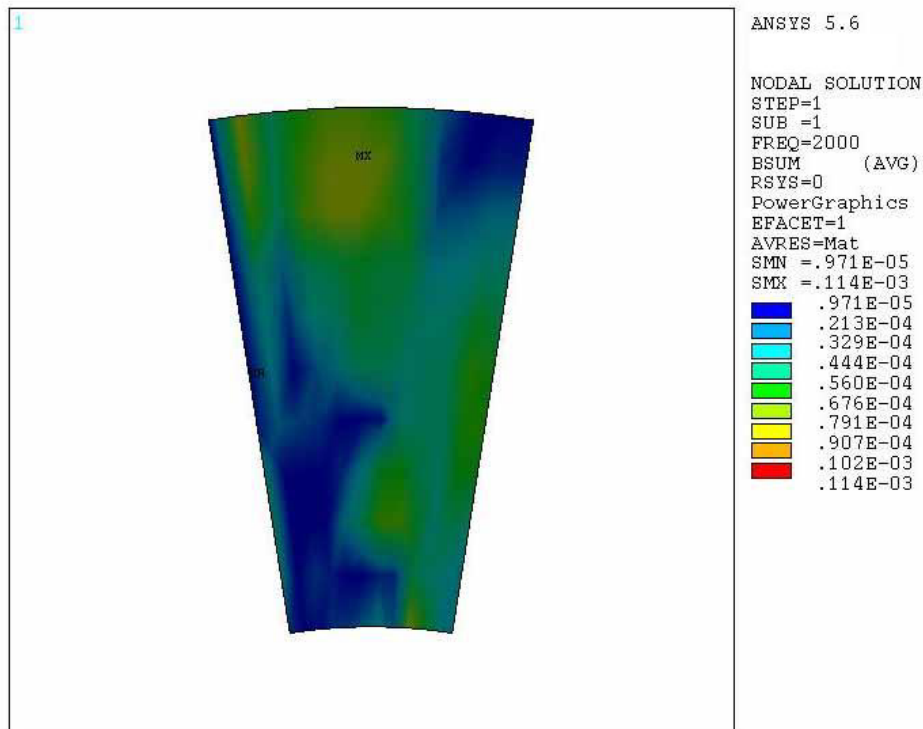


Figura 215. Componente imaginaria de la densidad de campo B.  
 $f_e=2000\text{Hz}$  -  $f_r=95\text{Hz}$  -  $s=0.05$ . Distribución por par de polos  $p=20$ .

A.1.1.8.  $f_e=3000\text{Hz}$  -  $f_r=142.5\text{Hz}$ .

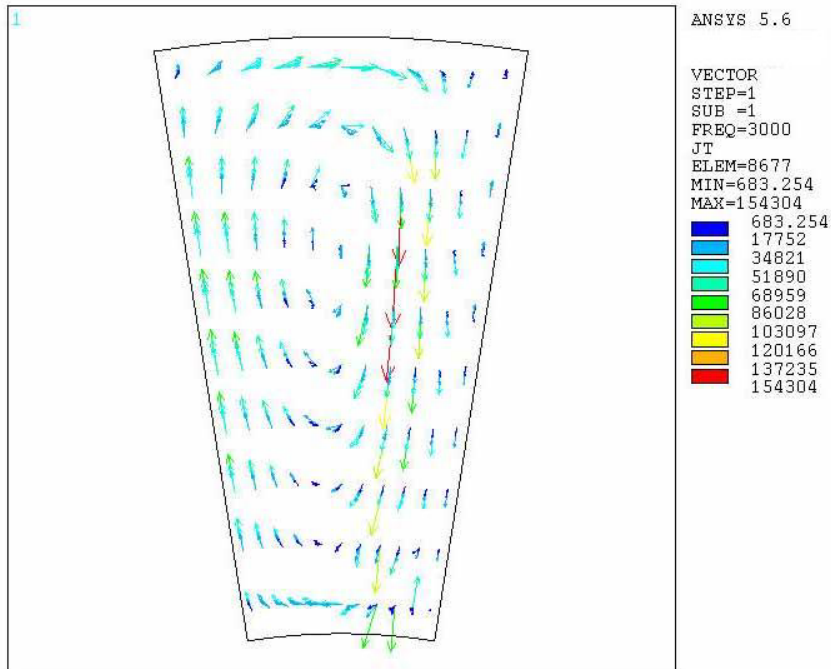


Figura 216. Componente real de la J del rotor.  $f_e=3000\text{Hz}$  -  $f_r=142.5\text{Hz}$  -  $s=0.05$ . Distribución por par de polos  $p=20$ .

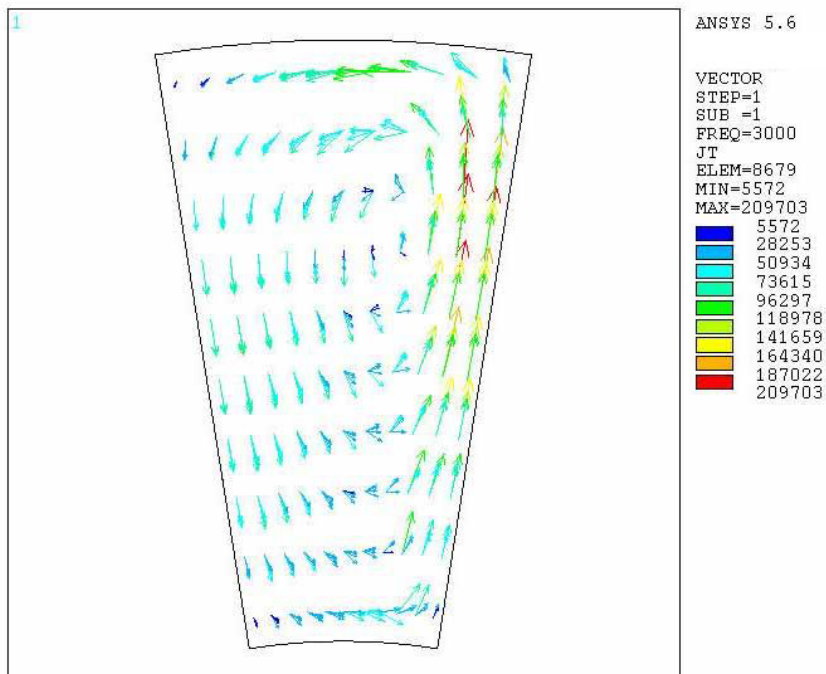


Figura 217. Componente imaginaria de la J del rotor.  $f_e=3000\text{Hz}$  -  $f_r=142.5\text{Hz}$  -  $s=0.05$ . Distribución por par de polos  $p=20$ .

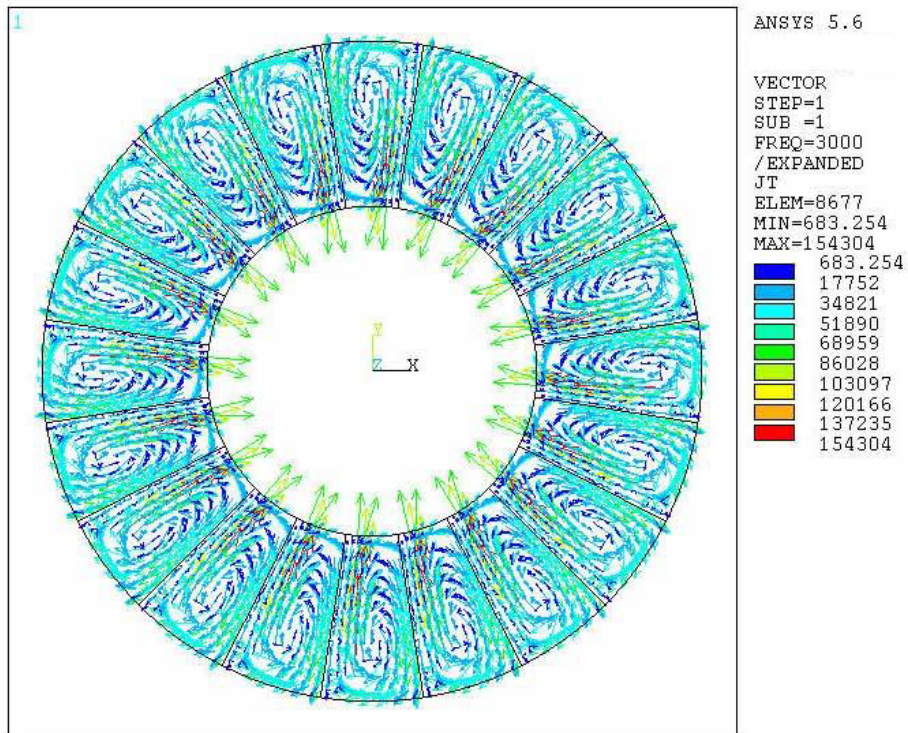


Figura 218. Componente real de la J del rotor.  $f_e=3000\text{Hz}$  -  $f_r=142.5\text{Hz}$  -  $s=0.05$ .  $p=20$ .

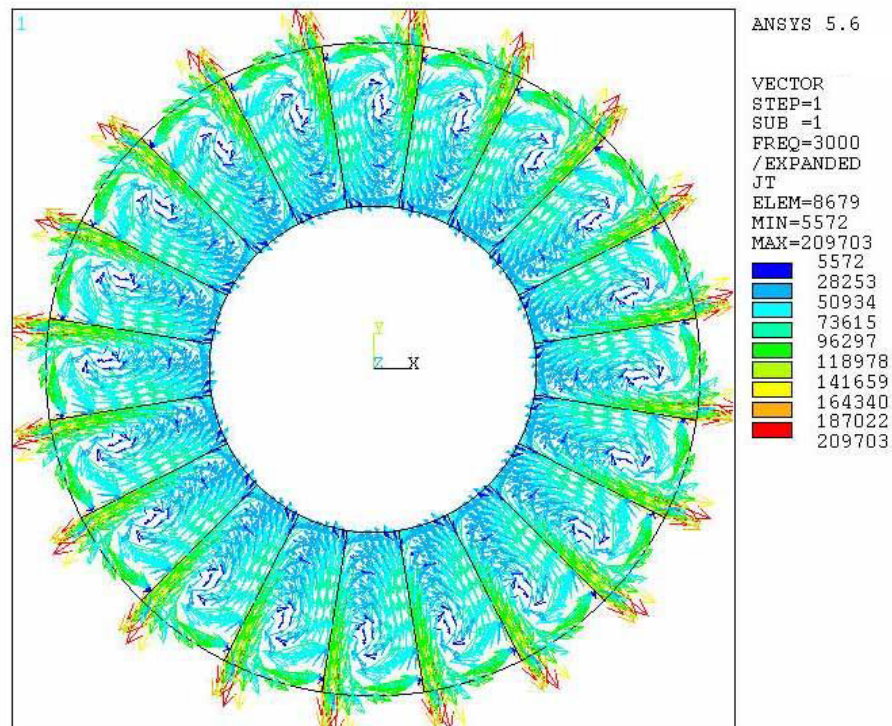


Figura 219. Componente imaginaria de la J del rotor.  $f_e=3000\text{Hz}$  -  $f_r=142.5\text{Hz}$  -  $s=0.05$ .  $p=20$ .

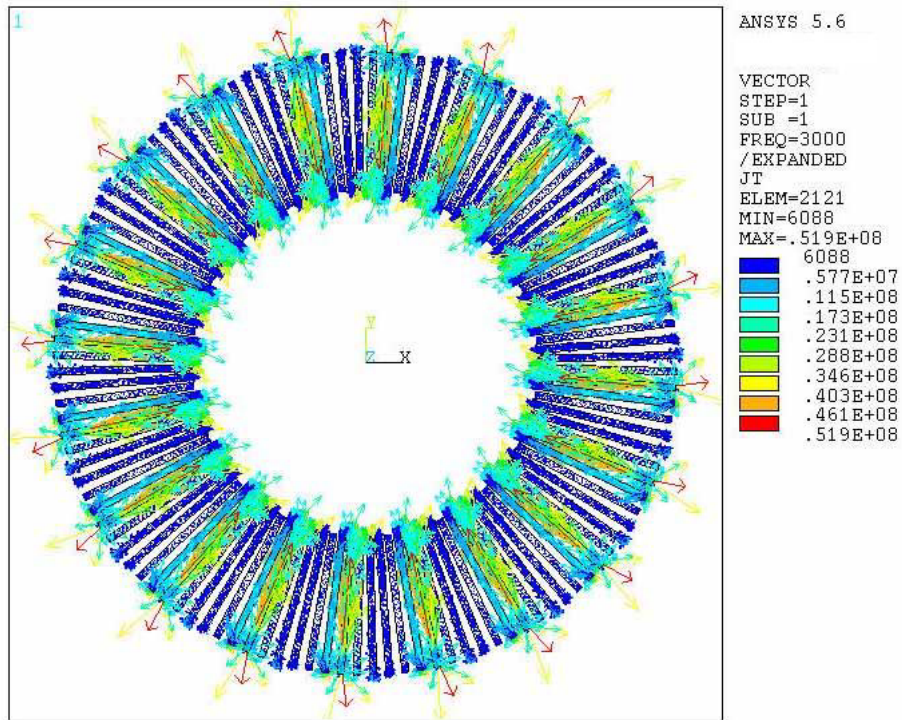


Figura 220. Componente real de las corrientes estáticas.  
 $f_e=3000\text{Hz}$  -  $f_r=142.5\text{Hz}$  -  $s=0.05$ .  $p=20$ .

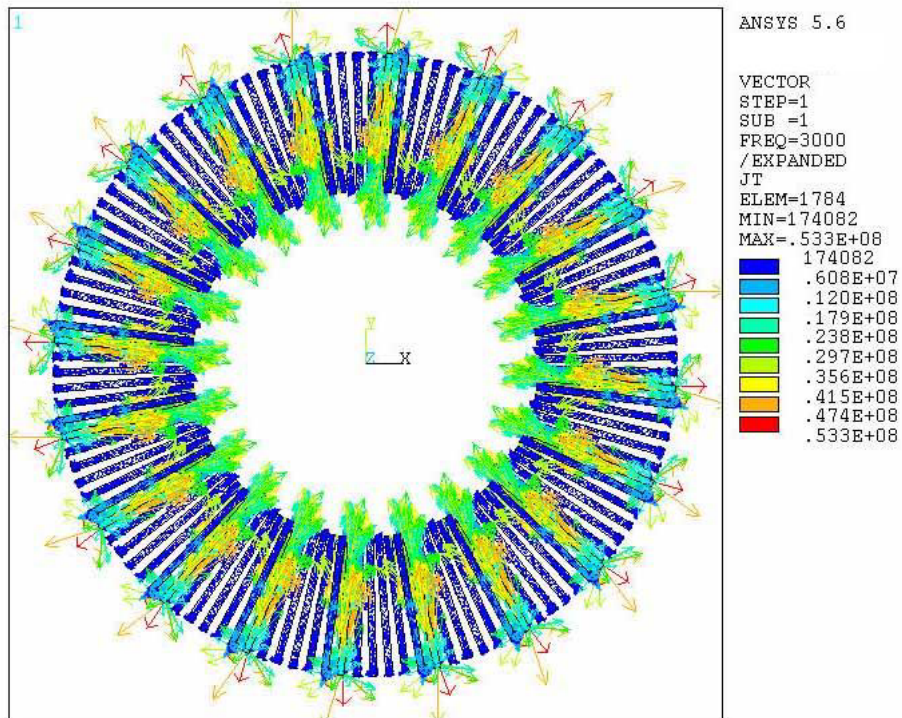


Figura 221. Componente imaginaria de las corrientes estáticas.  
 $f_e=3000\text{Hz}$  -  $f_r=142.5\text{Hz}$  -  $s=0.05$ .  $p=20$ .

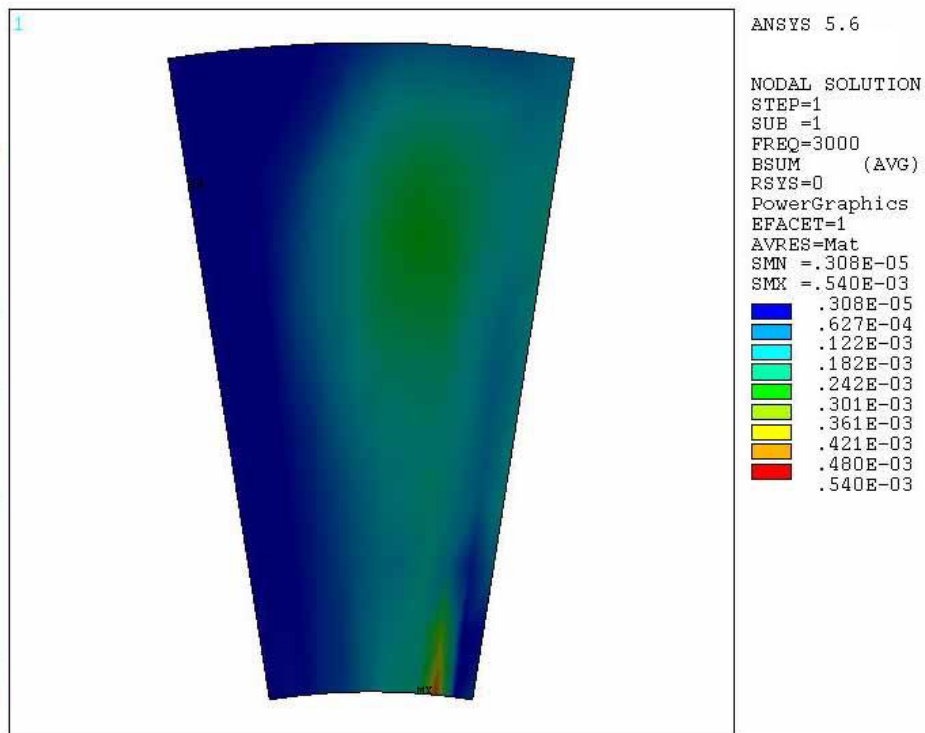


Figura 222. Componente real de la densidad de campo B.  
 $f_e=3000\text{Hz}$  -  $f_r=142.5\text{Hz}$  -  $s=0.05$ .  $p=20$ .

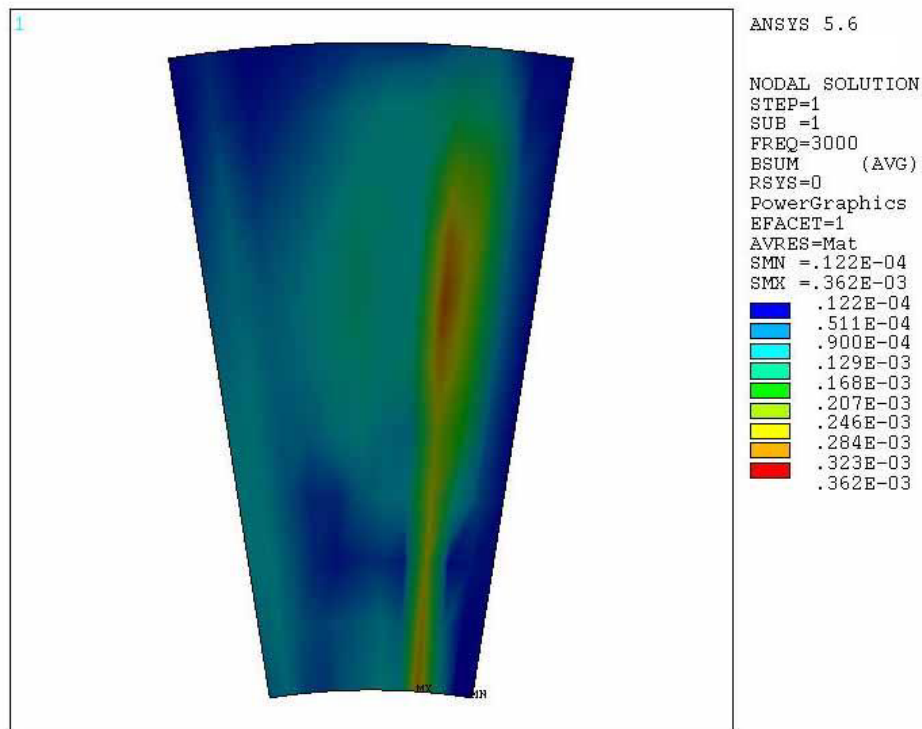


Figura 223. Componente imaginaria de la densidad de campo B.  
 $f_e=3000\text{Hz}$  -  $f_r=142.5\text{Hz}$  -  $s=0.05$ .  $p=20$ .



A.1.1.9.  $f_e=4000\text{Hz}$  -  $f_r=190\text{Hz}$ .

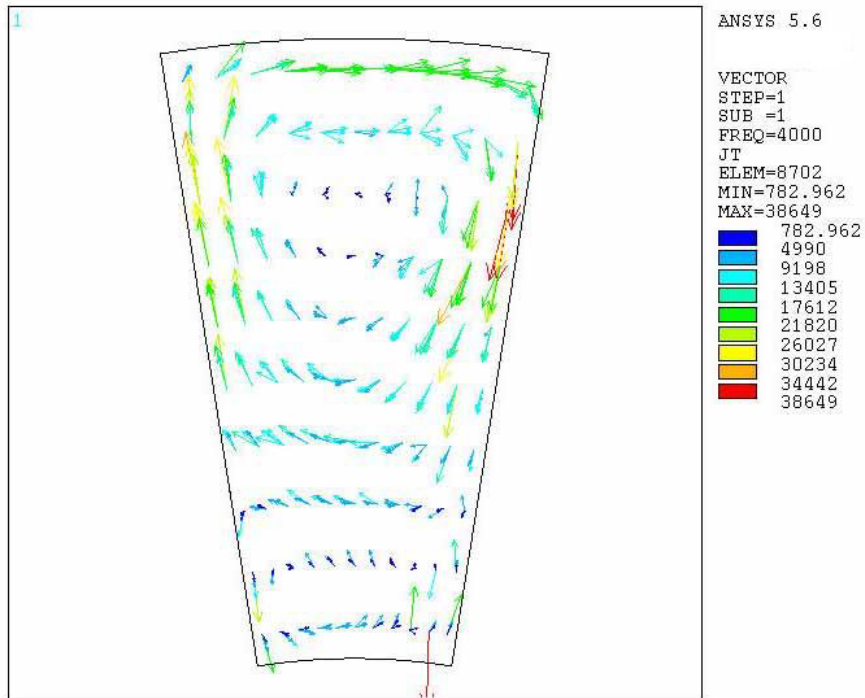


Figura 224. Componente real de la J del rotor.  $f_e=4000\text{Hz}$  -  $f_r=190\text{Hz}$  -  $s=0.05$ . Distribución por par de polos  $p=20$ .

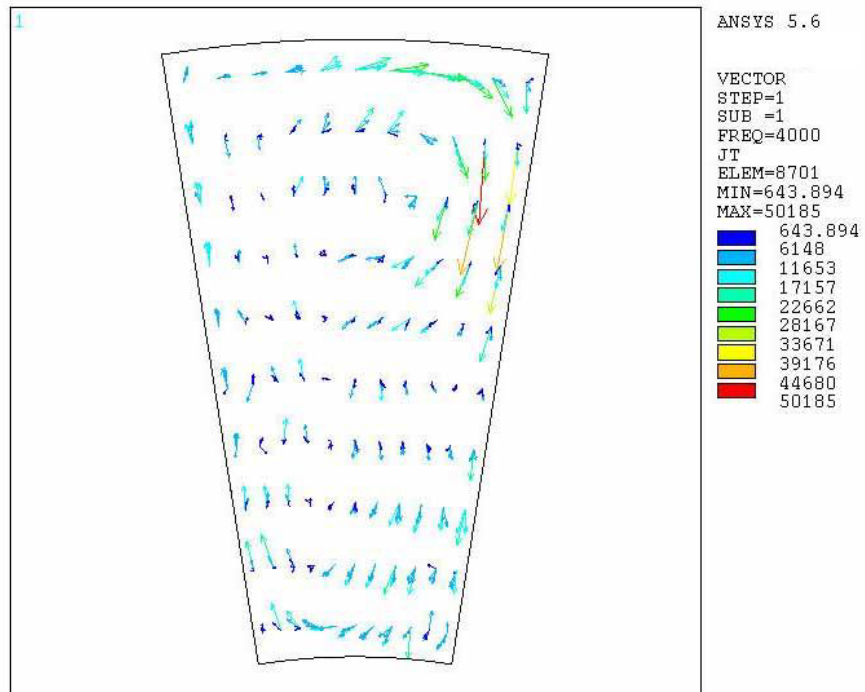


Figura 225. Componente imaginaria de la J del rotor.  $f_e=4000\text{Hz}$  -  $f_r=190\text{Hz}$  -  $s=0.05$ . Distribución por par de polos  $p=20$ .

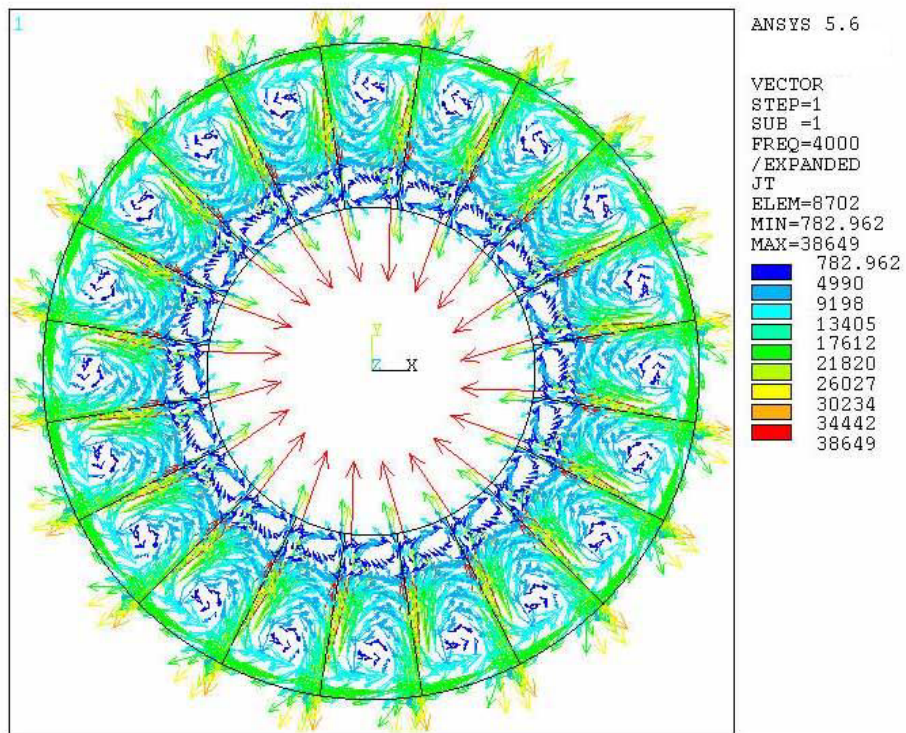


Figura 226. Componente real de la J del rotor.  $f_e=4000\text{Hz}$  -  $f_r=190\text{Hz}$  -  $s=0.05$ ,  $p=20$ .

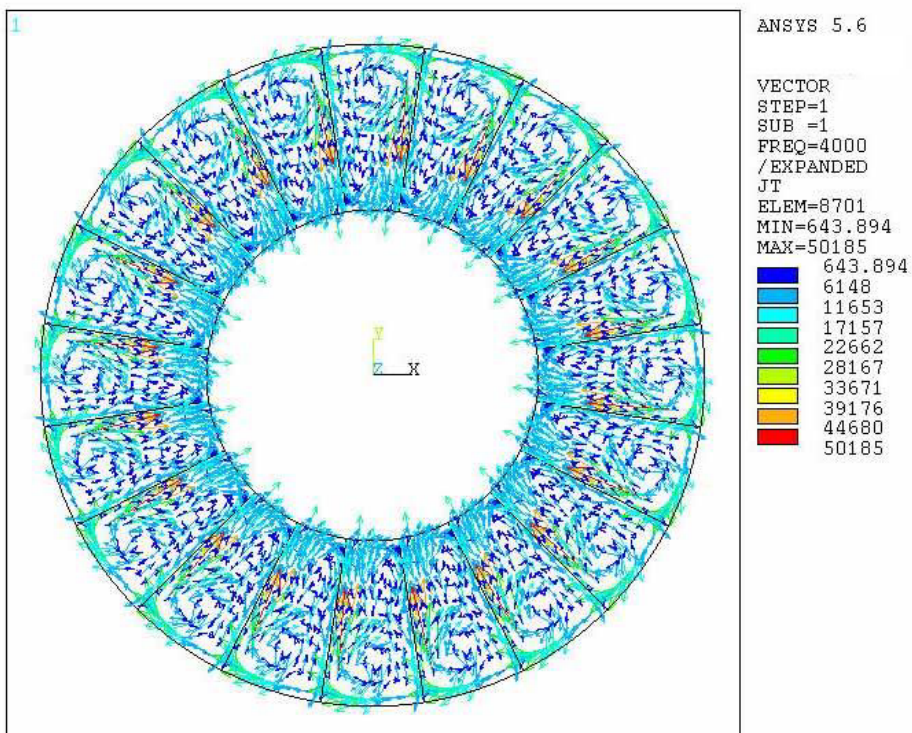


Figura 227. Componente imaginaria de la J del rotor.  $f_e=4000\text{Hz}$  -  $f_r=190\text{Hz}$  -  $s=0.05$ ,  $p=20$ .